

42-46

梯形槽中平坦 V 形堰测流特性研究

李家星

陈玉璞

(河海大学环境工程系 南京 210098)

W 131.66

√內摘要 本文研究梯形槽中平坦 V 形塊測流特性。通过不同边坡、不同情况下的系列试验,给出了这种塊型自由流流量系数及淹没流折减系数的变化规律、批荐使用值及相应的不确定度,进而从理论上产以阐释、论证。本文成果已纳入堰槽测流规范。

平坦 V 形堰是一种新型的量水建筑物 其最大特点是测小流量时灵敏度高,而测大流量时上,下游水头差较小,因而适用的流量变幅较大。其测流精度及流态均优于宽顶堰和实用堰。国际标准化组织(ISO)已对矩形槽中平坦 V 形堰颁布了国际标准归。然而,在生产上遇到的天然间道及人工渠道大多是梯形断面。如果在原有的梯形槽中建平坦 V 形堰、则既能降低工程造价,又可减少过堰水流的平面收缩,很具实用价值。本研究课题获得了水利的水利技术开发基金的资助。试验成果已纳水利技术开发基金的资助。试验成果已纳

入我国水利行业标准^[2]。

1 梯形槽平坦 V 形堰的构造及流量公式

梯形槽平坦 V 形堰的构造示意图见图 1。梯形槽边坡系数为 m(1:m=垂直:水平),槽中堰体的上、下游纵向坡度采用 1:2 与 1:5。堰顶横断面呈 V 形缺口,缺口高为 p_v ,其横向坡系数为 n(1:n=垂直:水平)。上、下游堰高分别为 p_1 和 p_2 。上游观测断面距堰顶的距离为 L_1 ,该处水头(上游水头)为 h_1 在紧带者堰顶线的下游堰面上,

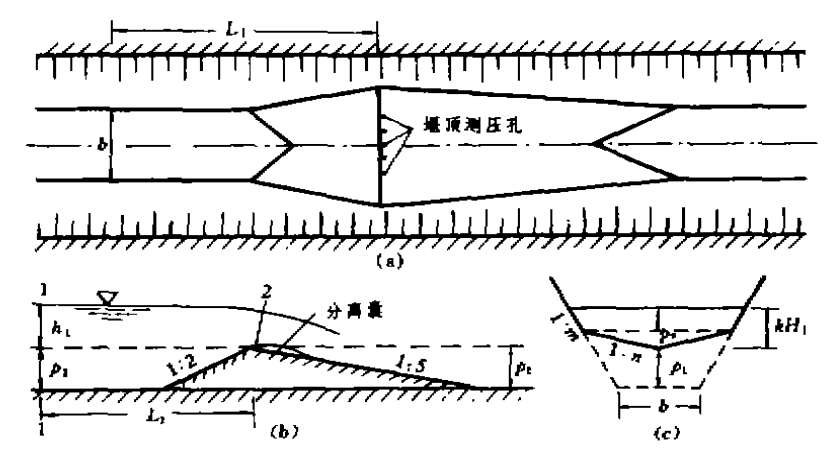


图 1 棉形槽中平坦 V 形城示意图 (a)平面图;(b)沿中心线纵剖面图;(c)城顶横剖面图。

按 IS() 规定设置一排与堰顶线平行的堰顶测压孔, 以便在淹没流时量测分离囊水头 hos

梯形槽平坦 V 形堰自由流流量公式已由英国水力学研究站(HRS)导得

$$Q = \frac{4}{5} C_{de} \sqrt{g} n Z_H H_{1e}^{5/2}$$
 (1)

中大

$$Z_{II} = 1 - (1 - \frac{m}{n})(1 - \frac{p_v}{H_{L_r}})^{5/2}$$
 (2) Z_{II} 为断面形状系数。其中 m, n, p_v 的意义已如前述。 $H_{L_r} = H_L - K_h = h_L + \frac{\alpha Q^2}{2gA^2} - K_h$ 。 h_L 和 A 分别为上游观测断面的实测水头和断面面积、 K_h 为考虑粘滞性及表面张力影响的水头修正项, H_L 为总水头, H_{L_r} 为有效总水头, Q 为流量, g 为重力加速度, α 为动能校正系数, C_{dr} 为相应于有效总水头 H_{L_r} 的有效流量系数。

对于淹没流,引进淹没流折减系数 f_v ,相应的公式为

$$Q = \frac{4}{5} f_v C_{de} \sqrt{g} n Z_H H_{1e}^{5/2}$$
 (3)

自由流与淹没流的界限,取 $f_v = 0.99$,称为自由流极限 $f_v < 0.99$ 时为淹没流。

2 试验情况及自由流试验成果

试验用的堰体用有机玻璃制作,渠槽用优质混凝土构筑,表面磨光,上游渠槽底水平,下游槽底坡为1:100。流量测定在小流量时用三角形薄壁堰,在大流量时用矩形薄壁堰,流量衔接十分良好。流量范围为20~

145 L/s_sh_1 , b(渠底宽) 和 p_1 满足 $h_1/p_1 \leq 3.5$, $b/h_1 \geq 2.0$ 。行近渠槽长度为 $10 \sim 12$ m, 达到和超过最大水面宽的 5 倍。 L_1 取 $10p_v$, $16p_v$, $24p_v$ 三种。试验时同时量测该三处的 h_1 , 经分析研究,以 $16p_v$ 处的 h_1 为 主整理资料, $10p_v$ 和 $24p_v$ 处的 h_1 作为校核。以上均满足国际标准的规定。

试验的梯形槽边坡倾角采用 60°(m = 0.577), 45° (m = 1.000), 30° (m = 1.732) Ξ 种。其中对 60° 边坡取 3 种不同堰高, 对 30° 边坡取2种槽底宽,共6组试验,详见表1。 表中 No.1~ No.5 五种模型、其横向坡系数 均为 n = 20。全部率定成果见图 2。在图 2 中, 低水头 $H_{\rm L}/p_{\rm s}=0.5\sim2.0$ 的点据比较 散乱,这是因为 H_L/p_s 较小时相对误差较 大的原因。为了更精确的测定低水头的数 据, No. 6 模型取 n=10, 以便在相同的试验 条件(流量、水头)下加大 pm, 从而减小 H_{L}/p_{v} ,以取得低水头下的精确成果。No.6 模型的试验成果点绘干图 3. 以其拟合值点 绘于图 2, 与 $H_{L}/p_{u} ≥ 2$ 边坡 45° 的数据衔 接良好。考虑到 n = 10 与 n = 20 的差别, n= 20 情况下 Cac 的不确定度系由图 3 点据 拟合的不确定度约增加 1 倍而得, 此值偏于 安全。 60° , 30° 边坡 $H_{c}/\rho_{o} \leq 2$ 情况下的 C_{c} 值根据理论分析(见下面边坡对流量系数的 影响) 及图 2、图 3 试验资料研究确定。其不 确定度沿用 45° 边坡的不确定度。三种边坡 各种情况下 C_{μ} 的拟合值及相应的不确定 度列于表 2。

表 1 试验情况及范围

使型编号	1	2	3	_ 4	5	6
边坡倾角	34)*	30*	45	60'	6n '	45*
$p_1(\epsilon \hat{\mathbf{m}})$	7.53	7 50	2.90	7.50	3.15	12.0
p, (cm)	3.65	2.88	2.80	3.00	3.00	6.8
p_v/p_A	0.485	0.384	0.466	0.400	0.950	0.667
b(cm)	108 0	78.0	1)1,0	107 9	112.9	120.0
Ŋ	20	20	20	26	20	10
H_{1s}/p_{s}	$0.8 \sim 4.0$	0.75 = 5.7	$1 \ f \sim 6.0$	$0.8 \sim 5.5$	0.8 - 5.5	$0.5 \sim 2.0$
流 - 恋	自由	自由、淹没	自由	自由、淹没	と由、淹没	• 食由

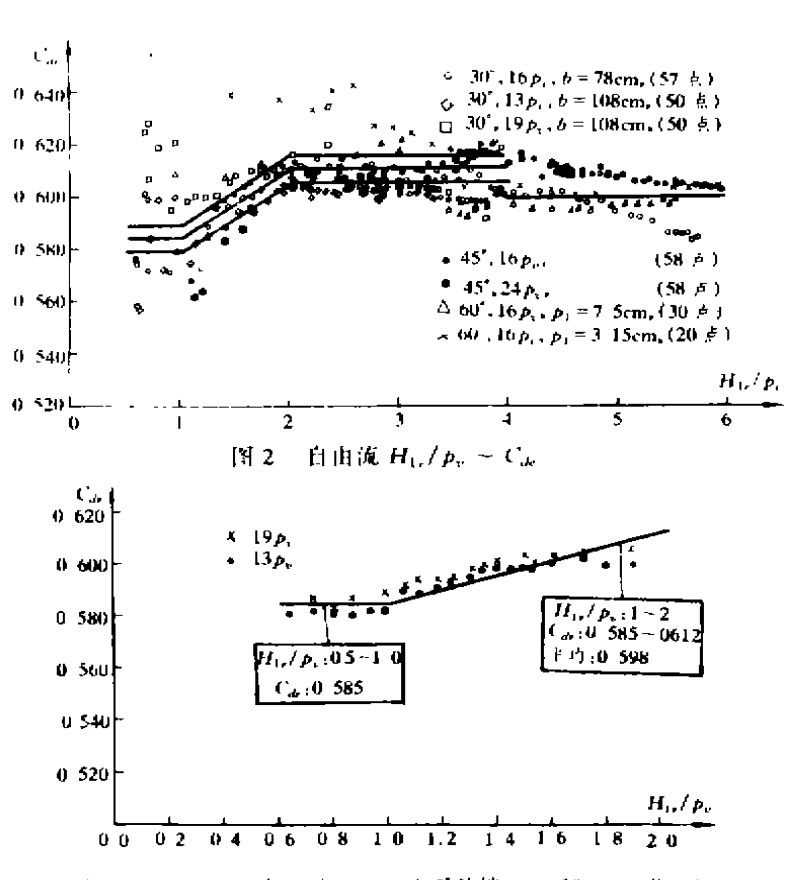


图 3 $H_{1r}/p_e \lesssim 2$ 时 $H_{1r}/p_e \sim C_d (45'$ 边坡, $n=10,p_e=8\,\mathrm{cm})$

表 2 三种边坡下的流量系数 Ca 及其不确定度

H_{1s}/p_{ss}		< 1	1 ~ 2	2 ~ 4	4 ~ 6
<u></u>	(,T	0.590	0.590 ~ 0.616	0.616	0.600
6tl*	e.	0.7%	0.5%	0.66%	0 18%
(m=0.577)	٧,	2%	2%	2%	2%
	٠,	2 12%	2.06%	2.11%	2.01%
45°	Cate	0.585	$0.585 \sim 0.612$	0.612	0.600
	e,	0.7%	0.5%	0.18%	0.18%
$\langle m = 1.000 \rangle$	e,	2%	2%	2%	2%
	r,	2 12%	2.06%	2.01%	2 01%
	Car	0.580	$0.580 \sim 0.606$	0.606	0.600
30*	e,	u 7%	0.5%	0 16%	0.18%
1m = 1.732)	e	2%	2%	2%	2%
	e	2.12%	2.06%	2.01%	2.01%

注:e, 为随机不确定度:e. 为系统不确定设:e. 为总不确定度(均为 95% 置信水平)。

3 自由流流量系数变化规律的 理论分析

以下对图 2、图 3 及表 2 中所载数据的 合理性进行理论分析。

3.1 理论公式

在图 1(b) 中。以上游观测断面为断面 1,以堰顶测压孔所在断面为断面 2,过堰顶最低点(见图 1(c)) 取基准面。列断面 1,2的能量方程

 $H_1 = h_1 + \frac{\alpha_1 v_1^2}{2g} = \frac{p_2}{\gamma} + \frac{\alpha_2 v_2^2}{2g} + \zeta \frac{v^2}{2g}$ 式中 p_2/γ 为断面 2 的测压管水头。由于流线在堰顶处不能突然转折,故在断面 2 出现分离囊、称 p_2/γ 为分离囊水头,以 h_p 表示。其值与上游水头 H_1 有关。可写为 p_2/γ = $h_p = \eta H_1$, η 为压强系数。于是

$$v_2 = \frac{1}{\sqrt{\alpha_2 + \zeta}} \sqrt{2g(1 - \eta)H_1}$$
 (4)

流量 $Q = v_2 A_2$, 设断面 2 的水深为 kH_1 , 由于断面 2 为急变流断面, 故 $k = \eta$ 不一定相等, 断面面积 A_2 可参考图 1(c) 计算。则

$$Q = v_2 A_2 = \frac{\sqrt{2g(1-\eta)}}{\sqrt{\alpha_2 + \zeta}} [mk^2 + 2(n-m)]$$

$$+k(\frac{p_v}{H_1})-(n-m)(\frac{p_v}{H_1})^2)H_1^{5/2}$$
 (5)

在式(1) 中, 忽略水头修正项, 保留行近流速水头, 即以 H_1 代替 H_1 , 其结果与上式比较得

$$C_{dr} = \frac{1.25\sqrt{2(1-\eta)}}{\sqrt{\alpha_2 + \zeta}} \cdot f \qquad (6)$$

而

$$f = \frac{mk^2 + 2(n-m)kt - (n-m)t^2}{n - (n-m)(1-t)^{5/2}}$$
(7)

式中 $t = p_{\nu}/H_{10}$

分析式(6) 中两大因子(因子 f 及另一因子) 的变化规律可得 C_{k} 的变化规律。

3.2 边坡对流量系数的影响

式(7) 对 m 求导得

$$\frac{\partial f}{\partial m} = \frac{n(k-t)^2 - nk^2(1-t)^{5/2}}{(n-(n-m)(1-t)^{5/2})^2}$$
$$= \frac{J}{(n-(n-m)(1-t)^{5/2})^2}$$
(8)

本文作者已对三角剖面堰的测流特性 进行了分析^[3]。平坦 V 形堰 不同于三角剖 面堰之处在于使水流向 V 形缺口中央汇聚 的横向坡。而 k 值取决于水流的纵向偏折与 跌落。就断面平均而言、平田 V 形堰的 k 值 应接近三角剖面堰的 k 值、仍保持 0.7 < k < 0.8。以 $k = 0.7 \sim 0.8$, $H_{1,r}/p_v = 1.5 \sim$ 6.0,n = 20 计算 J 值,总有 J < 0,即 $\frac{\partial f}{\partial m}$ < 0,f 随 m 的增加而减小。此外,水流趋近水 顶时,向 V 形缺口集中,m 增大,过堰水 河 中 缩加剧,水头损失和流速分布的增大,同时,n 值主要取决于上、下游坡面固定时,m 与 n 的影响可以忽略不计,因此式(6) 中 除 f 以外的另一因子也随 m 的增大减小。综上所述,在 $H_{1,r}/p_v = 1.5 \sim 6.0$ 的范围内, C_{de} 随 m 的增大而减小。

如果 $H_{1r}/p_{e} < 1$, 即水面限在 V 形缺口以内, 此时断面 A_{2} 是等腰三角形(见图 1(e))。仿前法可得

$$C_{dr} = \frac{1.25k^2\sqrt{1-\eta}}{\sqrt{a_2+\zeta}}$$
 (9)

在这种情况下, 堰顶横向坡所引起的 平面收缩对 C_{ik} 值将起主要作用。采取同样的分析方法, 如果 m 增大, k, η 值变化不大, 而 a 和 ξ 稍有增大, 那么 C_{ik} 有所降低, 与图 3 所示规律一致。

3.3 水头对流量系数的影响

令 $s=1/t=H_1/p_0$ 表示相对总水头,接式(7) 求 $\partial f/\partial s$ 以表示水头对 f 的影响,由于 $\partial f/\partial s=F(m,n,k,s)$,取 m,n,k 为不同的值($m=0.557,1.000,1.732; n=20; k=0.7\sim0.8$),计算不同 s(s=2.3,4.5,6) 所对应的 $\partial f/\partial s$ 值。结果如下:当 $H_1/p_0=2$, $\partial f/\partial s$ 为正值;当 $H_1/p_0=2\sim3$ 时, $\partial f/\partial s$ 在其间由正变负,当 $H_1/p_0=3\sim6$ 时, $\partial f/\partial s$ 均为负值,再考虑式(6) 中除 f 以外的另一个因子,当水头增加时变化不大(s 增加时,f 略有减小)。故水头增加时对 f 。 的影响可以归结为;低

水头时 C_{dr} 随 H_1/p_v 的增加而增大,而高水头时 C_{dr} 随着 H_1/p_v 的增加而减小。在图 2 和表 2 中,根据 H_1/p_v 的大小进行分段拟合,与理论分析的变化趋势相一致。

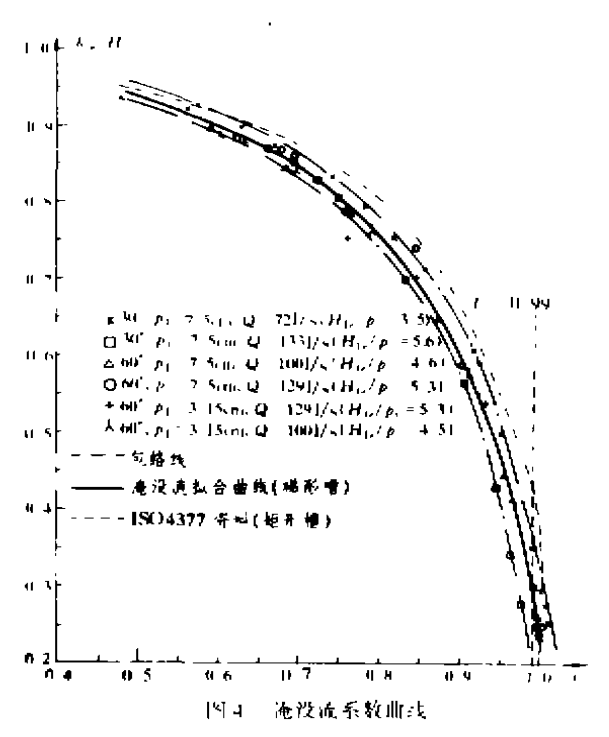
3.4 边坡对流量系数影响随水头的变化

以 n = 20, k = 0.75, m = 1 计算相应 于 s = 2,3,4,5,6 的 $\frac{\partial f}{\partial s}(\frac{\partial f}{\partial m})$ 值。结果全为 负值。这表明,随着水头的增加,边坡 m 对 f,以致对流量系数的影响越来越小。换言之,与低水头的情况相比较,高水头时不同 边坡的 C_{dr} 将更靠近。图 2 中,对 H_{1r}/p_{rr} < 4 分不同边坡拟合,而在 H_{1r}/p_{rr} = 4 ~ 6 时不分边坡,拟合为同一 C_{dr} 值,与以上理论分析一致。

4 淹没流试验成果及分析

式(3) 为淹没流流量计算公式。淹没流时,采用克鲁普(Crump) 首创的量测上游水头 h_1 和分离囊水头 h_p 的"双水位测流法"。其特点是,由 $h_p/H_{L_p}(H_L,$ 为下游有效水头),推求淹没流折减系数 f_n 。这种方法的优点是:① 可避免下游水面扰动而难以测定水位的困难;② h_p/H_L , $\sim f_v$ 的相关曲线是单一曲线;③ 新法的灵敏度约为旧法的 3 倍 $^{\rm T}$ 。

以6种工况的全部淹没流试验点绘 $h_p/H_L \sim f_v$ 关系于图4中。在图中作出两条包络线(点划线),并绘制拟合曲线(实线)。同时根据1SO中矩形槽平坦V形堰淹没流资料点绘曲线(虚线)^[1]。图中两条包络线的间距与HRS矩形槽中平坦V形堰淹没流包络线的间距不相上下,按照Ackers等^[1]的分析,矩形槽中不同 H_1/P_v (即不同流量)的 $f_v \sim h_{pr}/H_L$ 的关系非常接近,可以拟合成一条曲线(图中虚线)。这里的情况十分相似,根据实验,梯形槽的拟合曲线(实线)可以代表30°~60°的各种边坡的堰没流曲线。根据这条曲线,自由流极限(f_v =0.99)对应于 h_{pr}/H_{Lr} =0.29±0.05。



5 结束语

关于梯形槽平坦 V 形堰的系列试验成果将使用范围由矩形槽的 $H_{\rm L}/P_{\rm v} \leq 4$ 扩展到梯形槽的 ≤ 6 ,并开创了将平坦 V 形堰推广应用于梯形槽实测流的途径。

文中列出的各种不确定度的计算方法 将另文阐述。

参考文献

- 1 明渠水流测量 —— 平坦 V 形堰(ISO 4377 1990). 见: 水利部水文闰编, ISO 标准手册 16(续集), 北京: 中国科学技术出版社, 1992. 217~243
- 2 中华人民共和国水利行业标准. 堰槽测流规范 (\$L24 - 91). 北京: 水利电力出版社, 1991.31 - 39
- 3 李家星, 梯形槽三角剖面堰制流特性研究, 河海大学学报, 1995(5):57 ~ 62

(收稿日期:1995 - 06 - 02)

① Ackers P.ct al Weirs and fluems for flow measurement by John Wiley & Sons Ltd, 1978 年译本、北京市水利科学研究所、北京市水利科学情报站、1984:89~99